

V-124 アスファルト混合物の粘弾性特性について(その2)

東京工業大学
東京工業大学

正員 渡辺 隆
正員 ○渡辺暉彦

1. まえがき

アスファルト混合物に継振動試験を実施した結果、砂・フィラー・アスファルト混合物の複素弾性率を骨材充填率に関する3項と載荷時間に関する3項との積の形で表現できることについでは前回に報告した¹⁾。本研究はさらに複素弾性率の温度依存性について検討し、これらの結果と時間温度換算則との関連について考察したものである。

また砂・フィラー・アスファルト混合物の一軸圧縮強度についても同様な検討を行なった。

2. 使用材料および実験条件

実験に使用した材料を表-1に示す。

配合：鉱物粒子中のフィラーラー量は0, 20, 40, 60, 80, 100 % の6種類で、アスファルト量は20°Cにおける一軸圧縮強度を最大にする量とした。

供試体：径5cm, 高さ10cmの円筒形供試体

試験温度：-10, 0, 10, 20, 30, 40, 50, 60°Cの8点。

試験周波数：500~5000Hz。

3. 試験結果

図-1は強制角振動数 $\omega = 10^4 \text{ rad/s}$ における複素弾性率の絶対値 $|E^*|$ と骨材充填率 P との関係を示したもので、両者が直線関係にあることがわかる。これらの直線の傾きを m 、横軸切片を P_0 とすると

$$|E^*| = m(P - P_0) \quad \dots \dots \dots (1)$$

が成立し、 m は温度の関数である。強制振動数を変えても同様な結果が得られ、 P_0 は等しく45.6%である。これを限界充填率と名付ける。 $\log m$ を絶対温度の逆数 $1/T$ で整理すると図-2が得られ、10°C以上の温度では m が変化しても平行な直線で表わされ、 m と T の間に

$$m = A e^{B/T} \quad \dots \dots \dots (2)$$

$$(T > 283\text{ K})$$

なる関係が成立する。これはAndradeの粘性式と同じ形をしており、ダインゲーの感温性と密接な関係があると考えられる。定数 B は周波数に依存しないが、 A は周波数の関数であり、図-3は $\log A$ と $\log \omega$ との関係を示す。これから

$$A = C \omega^\alpha \quad \dots \dots \dots (3)$$

表-1 使用材料

材 料	性 状
ストレートアスファルト	比重 1.026 鍾入度 90 軟化点 45.5℃
フィラー	CaCO_3 粉末 比重 2.70
石少	相模川産 粒径 0.3~0.6mm 比重 2.70

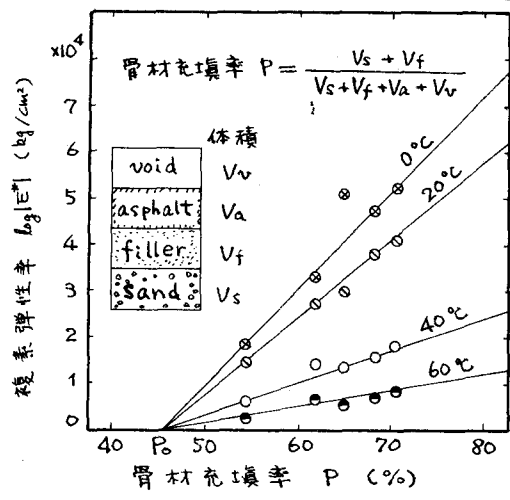


図-1

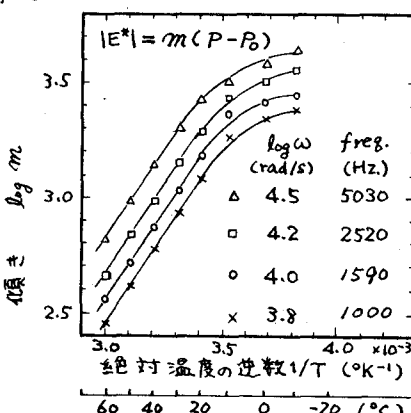


図-2

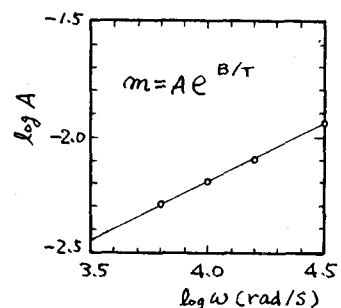


図-3

が得られる。ただし C , α は定数である。式(1)～(3)より

$$|E^*| = C(P - P_0) \omega^\alpha e^{B/T} \quad (T > 283^\circ\text{K}) \quad \dots \dots \dots \quad (4)$$

が成立する。一軸圧縮強度についても同様の結果が得られ²⁾、ひずみ速度を $\dot{\epsilon}$ とすれば

$$\sigma_b = C(P - P_0) \dot{\epsilon}^\alpha e^{B/T} \quad (T > 283^\circ\text{K}) \quad \dots \dots \dots \quad (5)$$

となる。式(4), (5)の各定数の値を表-2に示す。ただし振動試験と圧縮試験とは使用した材料が異なるのであり、両者の結果を同一レベルで比較することはできない。

4. シフトファクターの導入

式(4)の両辺の対数をとると

$$\log |E^*| = \log C(P - P_0) + \frac{B}{T} \log \epsilon + \alpha \log \omega \quad \dots \dots \dots \quad (6)$$

となり、 P , T が一定のとき $\log |E^*|$ vs. $\log \omega$ をプロットすれば、傾き α の直線が得られる。温度 T との直線と T_0 との直線は $\log |E^*|$ 軸に沿って $B \log \epsilon (\frac{1}{T} - \frac{1}{T_0})$ だけずれた平行な直線となる。この二つから $\log \omega$ 軸に沿った平行移動量であるシフトファクター $-\log \alpha_T$ は

$$\log \alpha_T = \frac{B \log \epsilon}{\alpha} \left(\frac{1}{T} - \frac{1}{T_0} \right) \quad \dots \dots \dots \quad (7)$$

となる。これをさらに変形して

$$\log \alpha_T = \frac{-B \log \epsilon}{\alpha T_0} \frac{(T - T_0)}{T_0 + (T - T_0)} \quad \dots \dots \dots \quad (8)$$

とすれど、WLF式

$$\log \alpha_T = \frac{-C_1(T - T_S)}{C_2 + (T - T_S)} \quad \dots \dots \dots \quad (9)$$

と形の上では同じになる。ただし T_S はガラス転移温度より約55℃高い基準温度で C_1 , C_2 は定数であるが、式(8)の定数をこれらの値に一致させることはできない。式(8)で $T_0 = 293^\circ\text{K}$ (20°C)としたときの $\log \alpha_T$ と温度の関係を図-4に示す。これを用いて $\log |E^*|$ および $\log \sigma_b$ の載荷速度に対するマスター曲線をまとめたのが図-5, 図-6である。図中に引いた直線は式(4), (5)から求めたものである。

5. 結論

(i) 骨材が骨格を形成するのに必要な最小限の限界充填率が存在し、 $|E^*|$, σ_b は $P - P_0$ に比例する。(ii) $|E^*|$ と σ_b は $E e^{B/T}$ に比例し、これはバイオメカニクス影響によるものと考えられる。(iii) $|E^*|$ は ω^α に、 σ_b は $\dot{\epsilon}^\alpha$ に比例する。(iv) $|E^*|$, σ_b をまとめた実験式からシフトファクターを導くことができる、WLF式と同じ形の式で表現される。

なおこの研究は文部省科学研究費の交付を受けを行なったものである。

1) 土木学会第28回年次学術講演会講演集 V-116

2) 土木学会第29回年次学術講演会講演集 V-121

表-2 実験式中の定数の値

	C	P_0	α	B
$ E^* $	4.79×10^5	45.6	0.233	4964
σ_b	4.01×10^7	47.5	0.533	3638

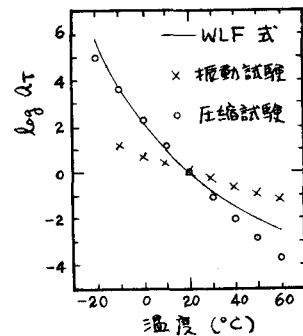


図-4

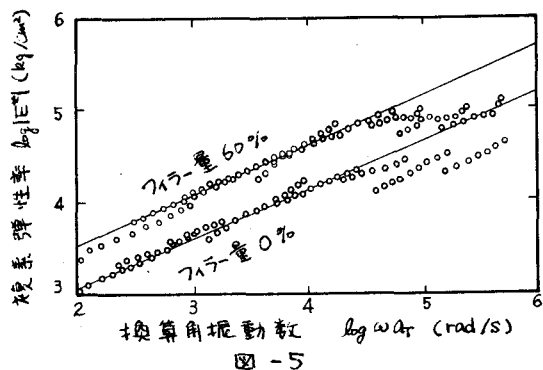


図-5

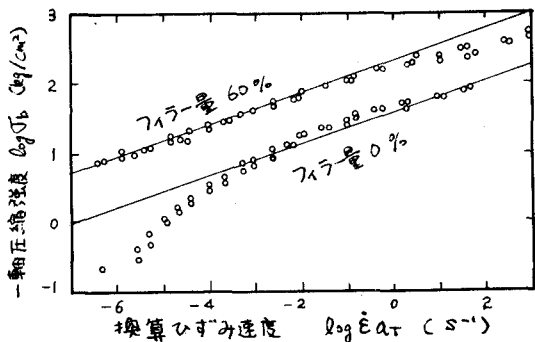


図-6